

Obiekt dynamiczny opisany jest ciągłym modelem w przestrzeni stanu :

$$\frac{dx_1(t)}{dt} = -\frac{T_1 + T_2}{T_1 T_2} x_1(t) + x_2(t) \quad (1)$$

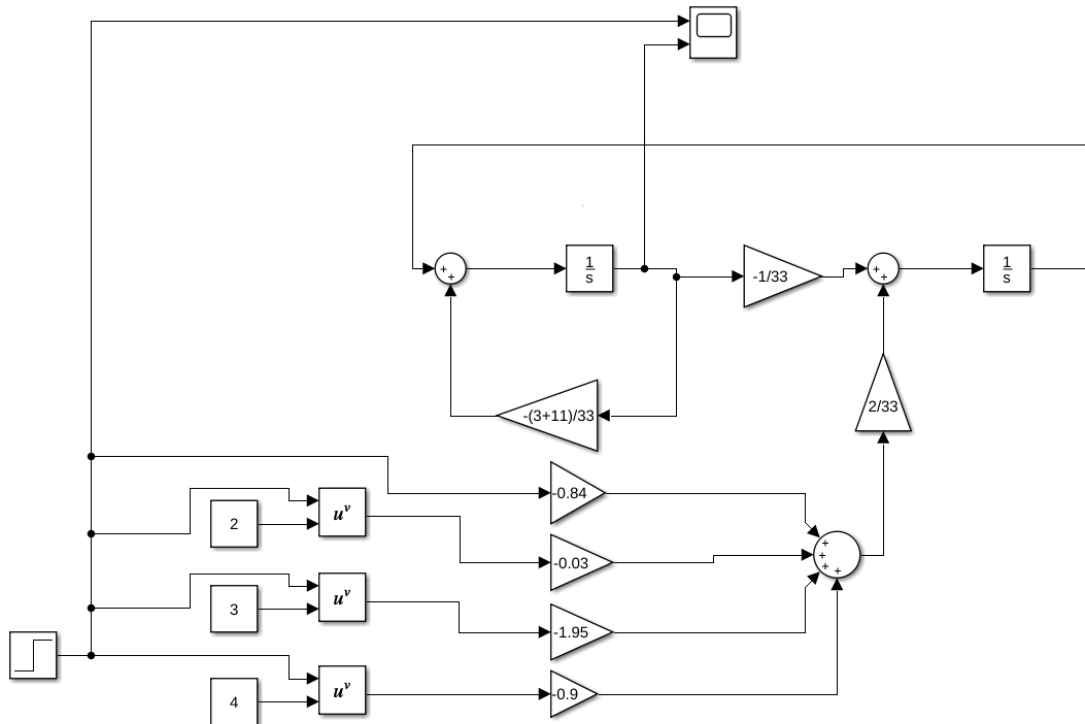
$$\frac{dx_2(t)}{dt} = -\frac{1}{T_1 T_2} x_1(t) + \frac{K}{T_1 T_2} (\alpha_1 u(t) + \alpha_2 u(t)^2 + \alpha_3 u(t)^3 + \alpha_4 u(t)^4) \quad (2)$$

$$y(t) = x_1(t) \quad (3)$$

gdzie: $K = 2$, $T_1 = 3$, $T_2 = 11$, $\alpha_1 = -0,84$, $\alpha_2 = -0,03$, $\alpha_3 = -1,95$, $\alpha_4 = -0,9$, sygnał sterujący spełnia warunek $-1 \leq u \leq 1$.

Zad nr 1

Reprezentację graficzną dynamicznego modelu ciągłego (równania 1,2,3) przedstawia ilustracja nr 1.



Ilustracja 1: Reprezentacja graficzna dynamicznego modelu ciągłego

Zad nr 2

Dynamiczny model dyskretny został wyprowadzony przy użyciu dyskretyzacji metodą Eulera. Proces ten udokumentowano poniżej. T_p oznacza tutaj oczywiście czas próbkowania.

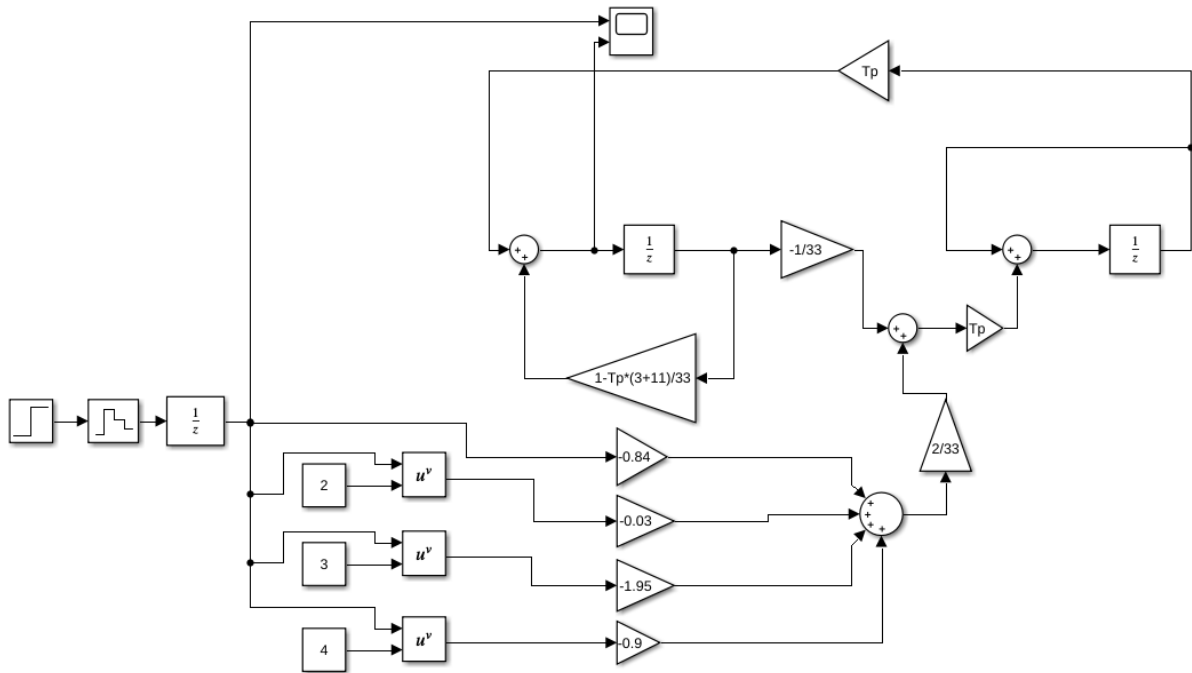
$$\frac{x_1(k) - x_1(k-1)}{T_p} = -\frac{T_1 + T_2}{T_1 T_2} x_1(k-1) + x_2(k-1)$$

$$\frac{x_2(k) - x_2(k-1)}{T_p} = -\frac{1}{T_1 T_2} x_1(k-1) + \frac{K}{T_1 T_2} (\alpha_1 u(k-1) + \alpha_2 u(k-1)^2 + \alpha_3 u(k-1)^3 + \alpha_4 u(k-1)^4)$$

$$x_1(k) = x_1(k-1) - T_p \left(\frac{T_1 + T_2}{T_1 T_2} x_1(k-1) - x_2(k-1) \right) = x_1(k-1) \left(1 - T_p \frac{T_1 + T_2}{T_1 T_2} \right) + x_2(k-1) T_p$$

$$x_2(k) = x_2(k-1) - T_p \left(\frac{1}{T_1 T_2} x_1(k-1) - \frac{K}{T_1 T_2} (\alpha_1 u(k-1) + \alpha_2 u(k-1)^2 + \alpha_3 u(k-1)^3 + \alpha_4 u(k-1)^4) \right)$$

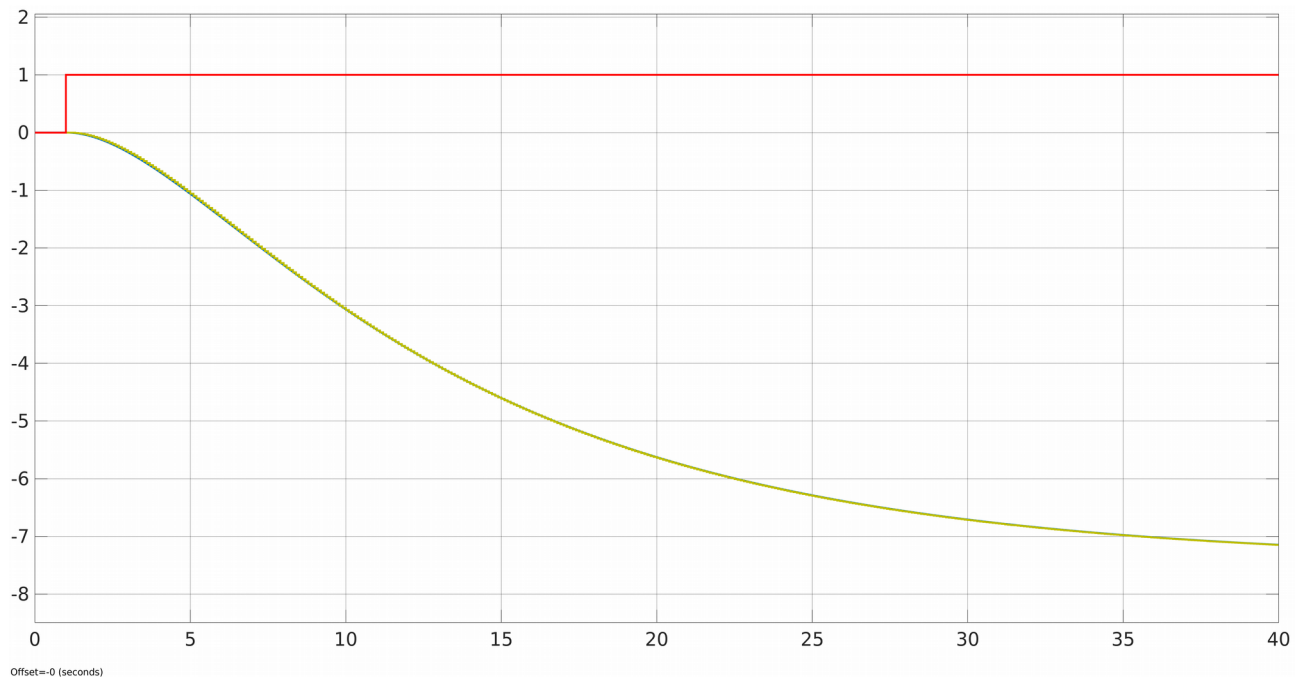
$$y(k) = x_1(k)$$



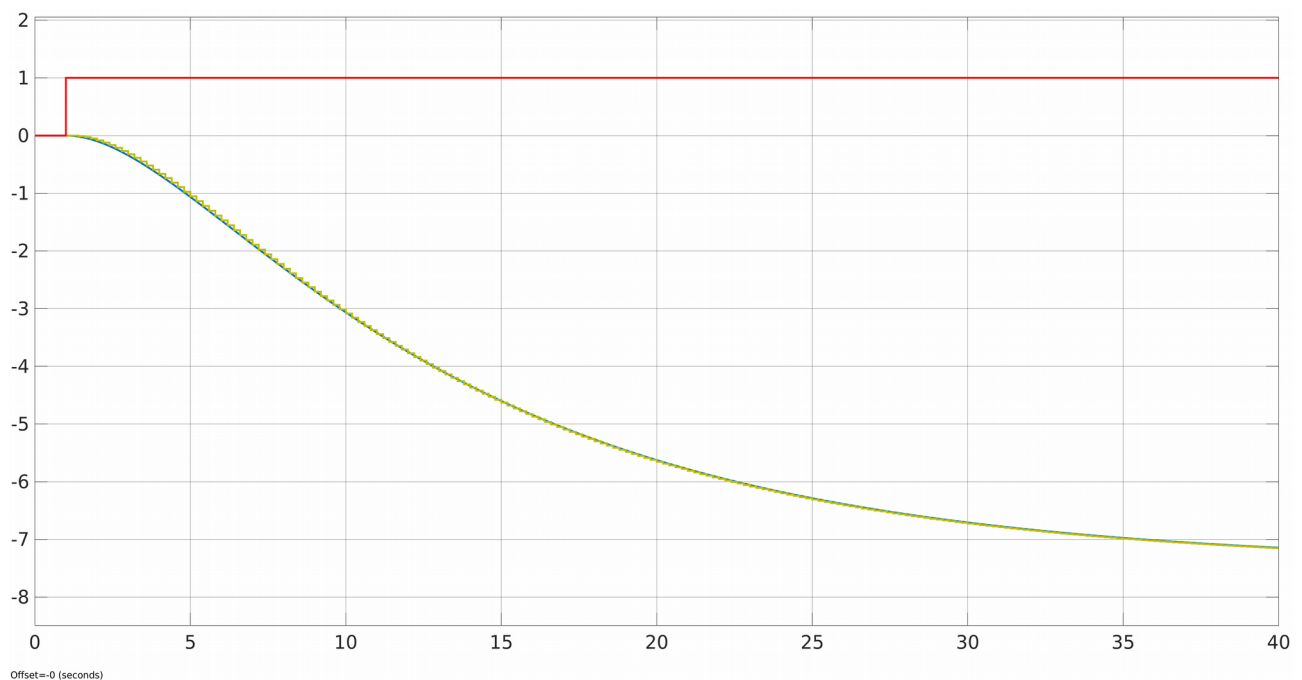
Ilustracja 2: Reprezentacja graficzna dynamicznego modelu dyskretnego

Zad nr 3

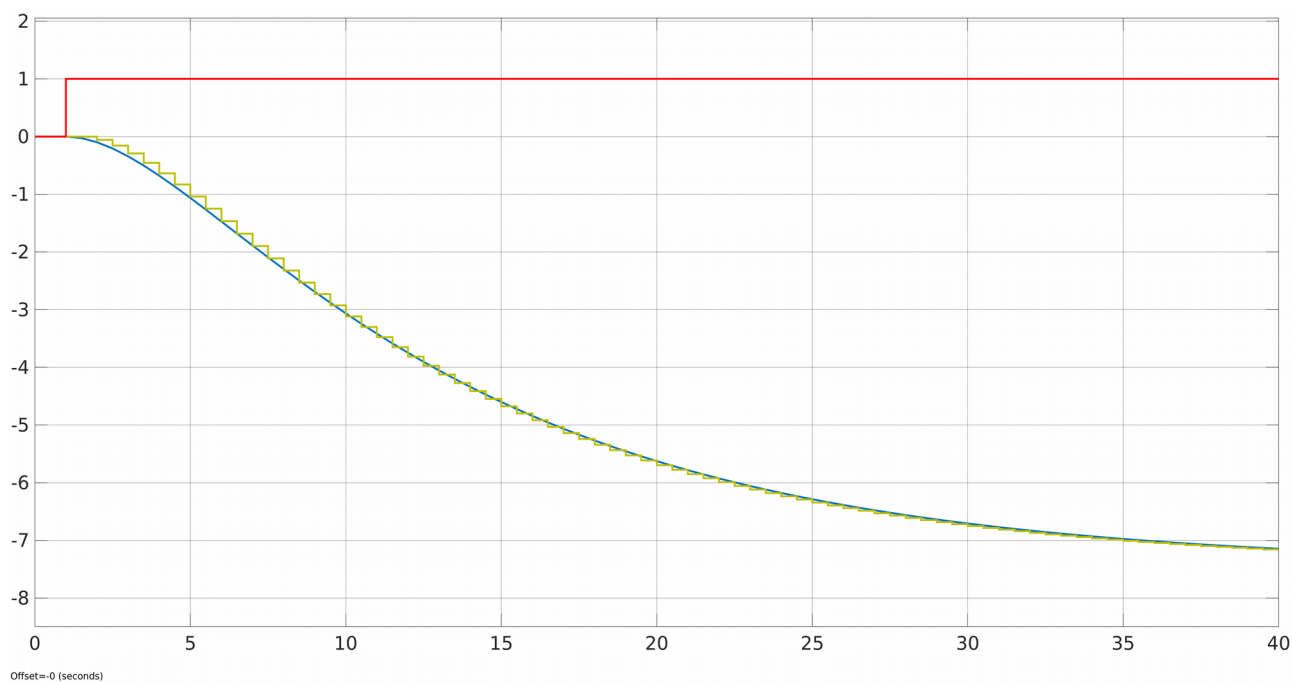
W zadaniu tym zasymulowano dynamiczny model ciągły i dyskretny dla tego samego skoku sygnału sterującego (od wartości 0 do 1 w chwili 1 sek.) przy zerowych warunkach początkowych. Na kolejnych ilustracjach porównano otrzymane odpowiedzi dla okresu próbkowania 0,1, 0,2, 0,5, 1, 2, 5 sek. w okresie 40 sek. Czerwonym kolorem narysowany jest skok jednostkowy (pobudzający układ), niebieskim – odpowiedź dynamicznego modelu ciągłego, żółtym – odpowiedź dynamicznego modelu dyskretnego (uzyskanego z wyprowadzeń z poprzedniego zadania).



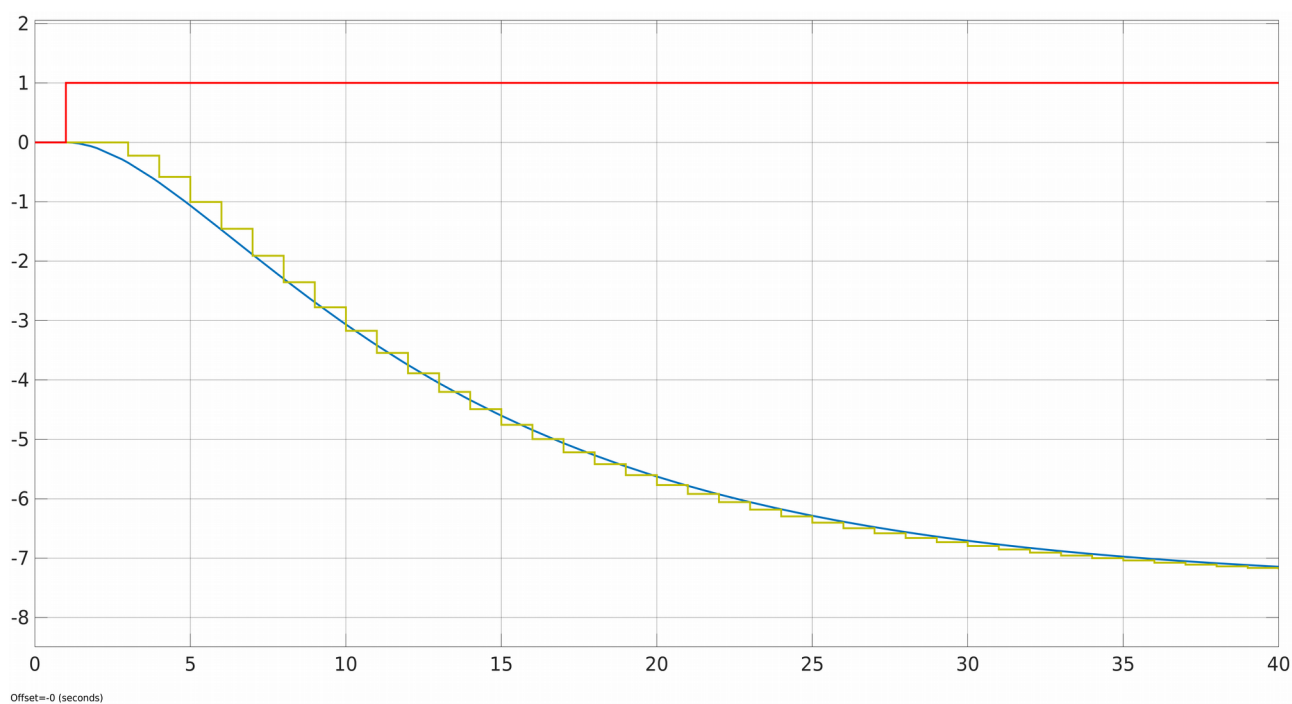
Ilustracja 3: Wykres dla okresu próbkowania 0,1s



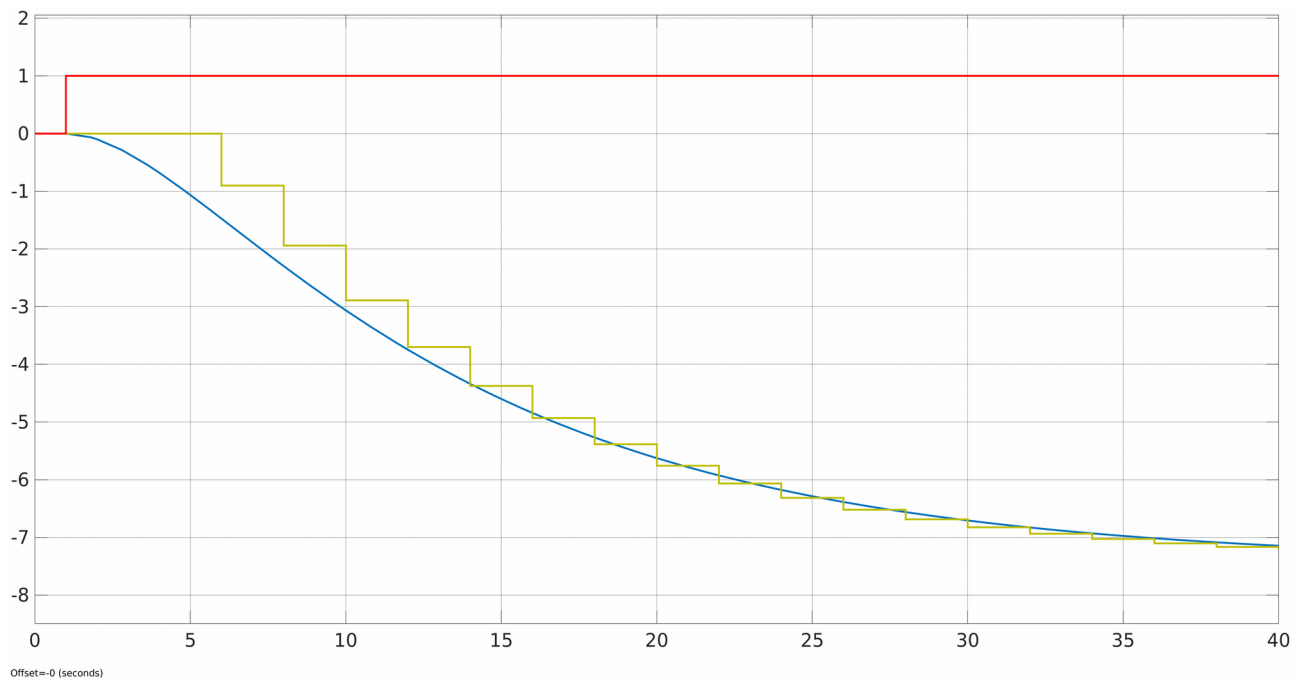
Ilustracja 4: Wykres dla okresu próbkowania 0,2s



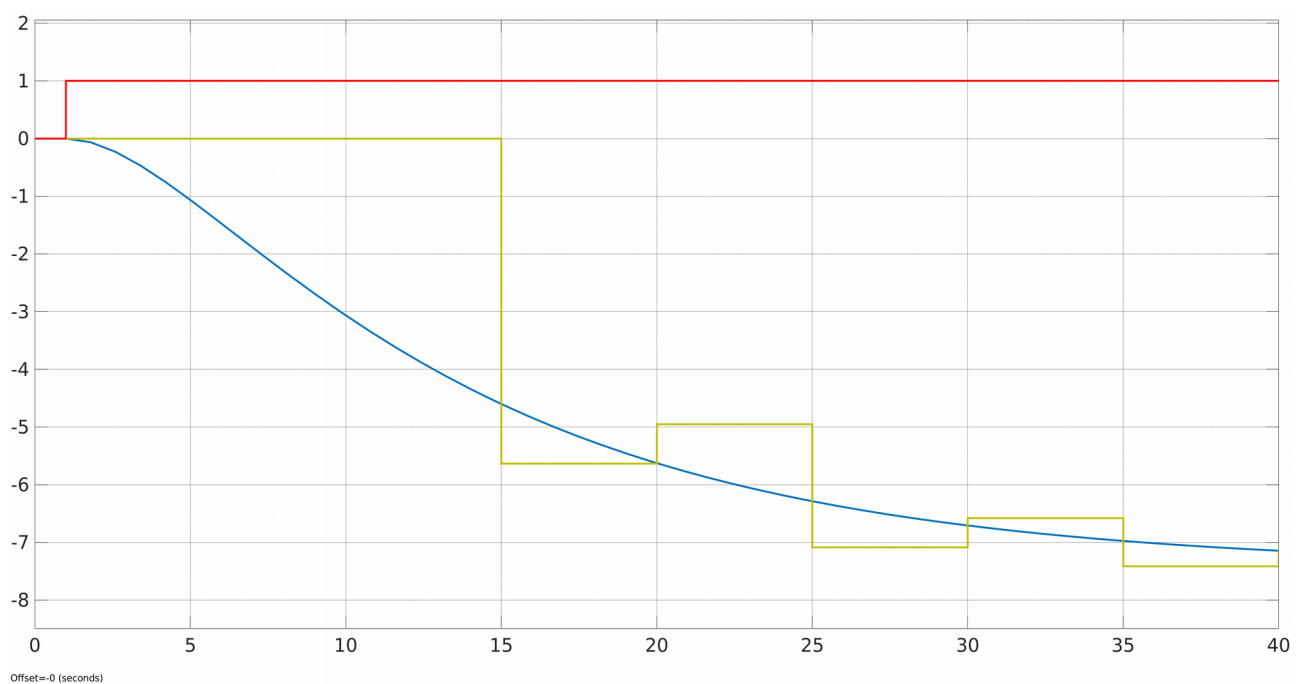
Ilustracja 5: Wykres dla okresu próbkowania 0,5s



Ilustracja 6: Wykres dla okresu próbkowania 1s



Ilustracja 7: Wykres dla okresu próbkowania 2s



Ilustracja 8: Wykres dla okresu próbkowania 5s

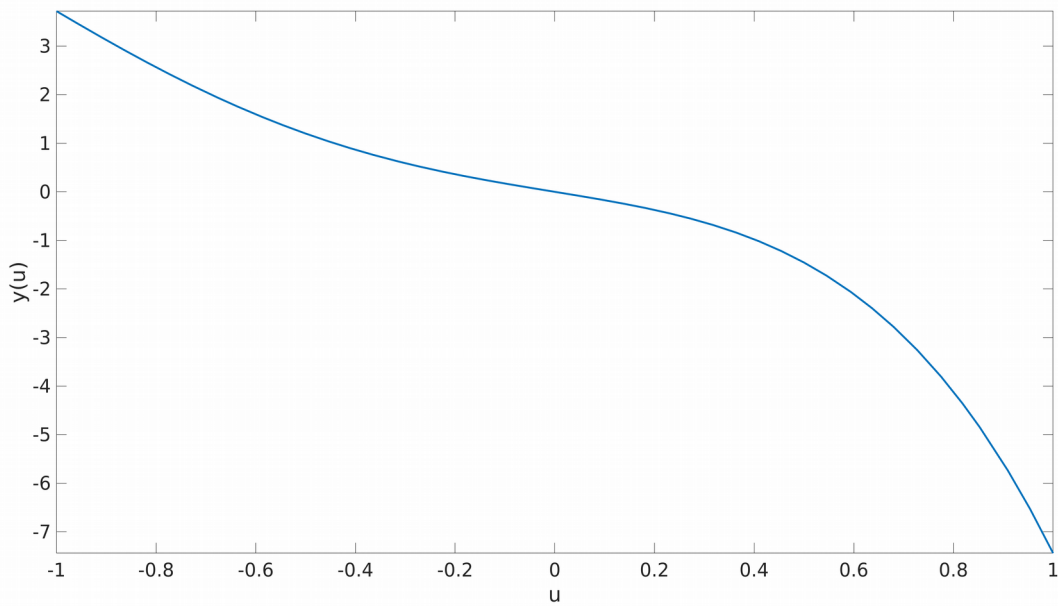
Jak widać na powyższych wykresach im mniejszy jest okres próbkowania, tym model dyskretny lepiej odzwierciedla model ciągły.

Zad nr 4

Na podstawie dynamicznego modelu ciągłego wyznaczono charakterystykę statyczną $y(u)$. Wzór został wyznaczony poniżej, natomiast jej przebieg znajduje się na ilustracji nr 9.

$$0 = -\frac{T_1 + T_2}{T_1 T_2} x_1 + x_2$$
$$0 = -\frac{1}{T_1 T_2} x_1 + \frac{K}{T_1 T_2} (\alpha_1 u + \alpha_2 u^2 + \alpha_3 u^3 + \alpha_4 u^4)$$
$$y = x_1$$

$$y(u) = x_1 = K(\alpha_1 u + \alpha_2 u^2 + \alpha_3 u^3 + \alpha_4 u^4)$$



Ilustracja 9: Wykres charakterystyki statycznej

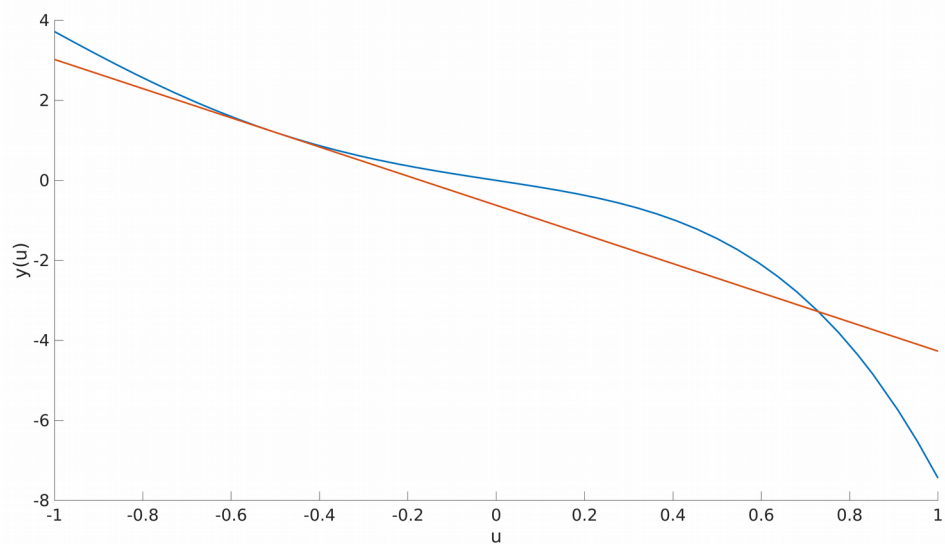
Zad nr 5

Poniżej wyznaczono analitycznie charakterystykę statyczną zlinearyzowaną w dowolnym punkcie \bar{u} . Dokonano tego poprzez rozwinięcie w szereg Taylora (nieliniowych elementów charakterystyki) i odrzucenie składników nieliniowych tego rozwinięcia.

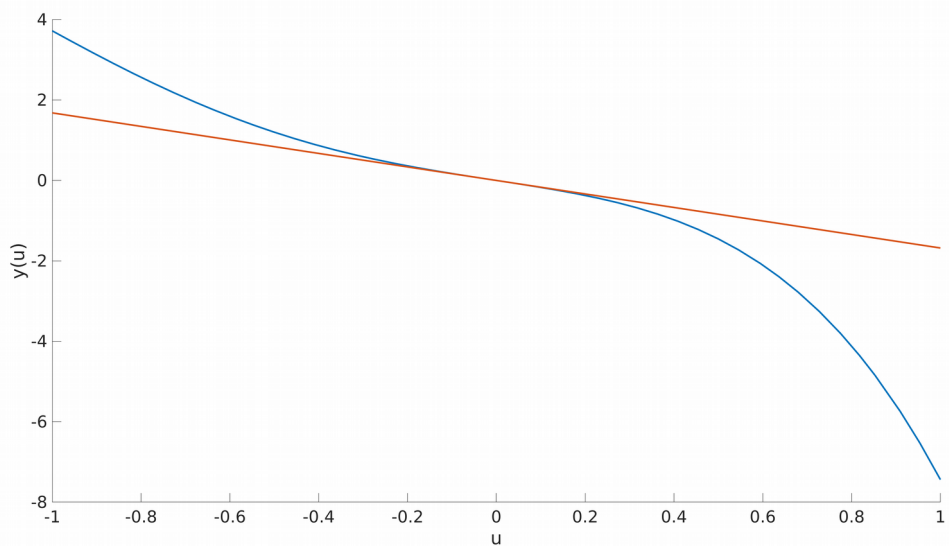
$$y(u) = K(\alpha_1 u + \alpha_2 u^2 + \alpha_3 u^3 + \alpha_4 u^4)$$
$$y(u) \approx K(\alpha_1 u + \alpha_2(\bar{u}^2 + 2\bar{u}(u - \bar{u})) + \alpha_3(\bar{u}^3 + 3\bar{u}^2(u - \bar{u})) + \alpha_4(\bar{u}^4 + 4\bar{u}^3(u - \bar{u})))$$
$$y(u) \approx K(u(\alpha_1 + 2\alpha_2\bar{u} + 3\alpha_3\bar{u}^2 + 4\alpha_4\bar{u}^3) - (\alpha_2\bar{u}^2 + 2\alpha_3\bar{u}^3 + 3\alpha_4\bar{u}^4))$$

Zad nr 6

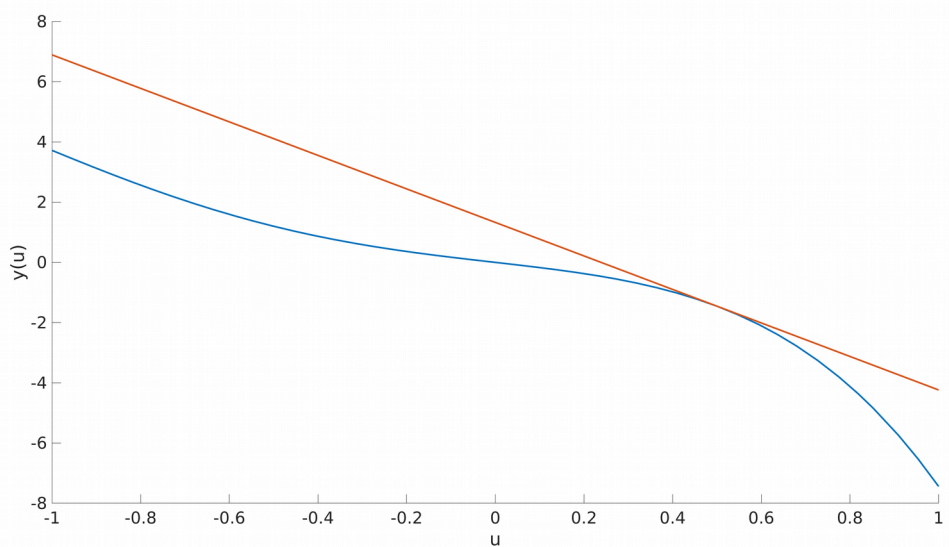
Zlinearyzowana charakterystyka statyczna (kolor czerwony) została przedstawiona na kolejnych ilustracjach na tle charakterystyki nieliniowej (kolor niebieski) dla 3 punktów linearyzacji (-0,5 ; 0 ; 0,5).



Ilustracja 10: Wykres charakterystyki zlinearyzowanej dla punktu -0,5



Ilustracja 11: Wykres charakterystyki zlinearyzowanej dla punktu 0



Ilustracja 12: Wykres charakterystyki zlinearyzowanej dla punktu 0,5

Dynamiczny dyskretny model zlinearyzowany został wyznaczony w sposób analityczny w dowolnym punkcie \bar{u} poniżej. Dokonano tego także poprzez rozwinięcie w szereg Taylora (nieliniowych elementów charakterystyki) i odrzucenie składników nieliniowych tego rozwinięcia.